

Fabrication and Characterization of Nanofibrous Wound Dressings Containing Gentamicin-conjugated Nanoclay

Hadi Samadian ^{1*} , Mahnaz Mohammadpour ² , Soheila Zare ³ , Zhila Izadi ⁴ , Sajad Moradi ⁵ , Hashem Moradi ³ , Hossein Derakhshankhah ^{4*} 

¹ Research Center for Molecular Medicine, Hamadan University of Medical Sciences, Hamadan, Iran

² Dept of chemistry, Faculty of Sciences, Tarbiat Modares University, Tehran, Iran

³ Student Research Committee, Kermanshah University of Medical Sciences, Kermanshah, Iran

⁴ Pharmaceutical Sciences Research Center, Health Institute, Kermanshah University of Medical Sciences, Kermanshah, Iran

⁵ Nano Drug Delivery Research Center, Health Technology Institute, Kermanshah University of Medical Sciences, Kermanshah, Iran

Article Info

Article type:
Research article

Article History:

Received: Jan. 02, 2024

Revised: Feb. 06, 2024

Accepted: Mar. 04, 2024

Published Online: May. 07, 2024

*** Correspondence to:**

Hadi Samadian
Research Center for Molecular Medicine, Hamadan University of Medical Sciences, Hamadan, Iran

Hossein Derakhshankhah
Pharmaceutical Sciences Research Center, Health Institute, Kermanshah University of Medical Sciences, Kermanshah, Iran

Email:
h30samadiyan@gmail.com
derakhshankhah.hossein@kums.ac.ir

ABSTRACT

Introduction: The development of bioactive wound dressings with high healing efficacy is one of the most important domains in interdisciplinary fields. The objective of the present study was to fabricate and characterize a nanofibrous wound dressing containing gentamicin-conjugated nanoclay.

Material & Methods: First, the interaction between the structure of nanoclays and gentamicin was evaluated based on computer simulation methods and using Gaussian software. Then, the purified nanoclays were conjugated with gentamicin, and the properties of the resulting nanoparticles were analyzed. The synthesized nanocomplex was integrated into the nanofiber structure using the electrospinning method, and the nanofiber wound covering was identified. Finally, the biological properties of nanofiber wound dressing were investigated.

Results: Numerical studies indicated that there were negatively charged oxygen groups on both sides of the nanoclay plates, which could make stable interactions with the positively charged nitrogen in gentamicin, and the drug was well-loaded between pages. The characterization results demonstrated that nanofiber wound dressings had acceptable characteristics in terms of morphology, diameter, wettability, mechanical properties, swelling, and bacterial penetration barrier. These functions provide a suitable environment for wound healing. The addition of gentamicin led to beneficial biological properties for prepared wound dressings, and these nanofibers had acceptable hemocompatibility and biocompatibility.

Discussion & Conclusion: The findings of the present research can be a fundamental step for using the combination of kaolin/polyvinyl alcohol nanofibers containing gentamicin in various fields of pharmaceutical bioengineering, including the production of wound dressings.

Keywords: Nanofiber wound dressing; Gentamycin, Polyvinyl alcohol (PVA), Kaolin, Nanoclay; Gossin

➤ How to cite this paper

Samadian H, Mohammadpour M, Zare S, Izadi Zh, Moradi S, Moradi H, Derakhshankhah H. Fabrication and Characterization of Nanofibrous Wound Dressings Containing Gentamicin-conjugated Nanoclay. Journal of Ilam University of Medical Sciences. 2024;32(1): 83-98.



© The Author(s)

Publisher: Ilam University of Medical Sciences



ساخت و مشخصه‌یابی پوشش زخم نانوفیبری حاوی نانورس‌های کوژوگه‌شده با

جنتامایسین

هادی صمدیان^{۱*}, مهناز محمدپور^۲, سهیلا زارع^۳, ژیلا ایزدی^۴, سجاد مرادی^۵, هاشم مرادی^۳, حسین درخشنخواه^۶

^۱ مرکز تحقیقات پزشکی مولکولی، دانشگاه علوم پزشکی همدان، همدان، ایران

^۲ گروه شیمی، دانشکده علوم پایه، دانشگاه تربیت مدرس، تهران، ایران

^۳ کمیته تحقیقات دانشجویی، دانشگاه علوم پزشکی کرمانشاه، کرمانشاه، ایران

^۴ مرکز تحقیقات علوم دارویی، پژوهشکده سلامت، دانشگاه علوم پزشکی کرمانشاه، کرمانشاه، ایران

^۵ کمیته تحقیقات دانشجویی، دانشگاه علوم پزشکی کرمانشاه، کرمانشاه، ایران

اطلاعات مقاله

نوع مقاله: پژوهشی

تاریخ دریافت: ۱۴۰۲/۱۰/۱۲

تاریخ ویرایش: ۱۴۰۲/۱۱/۱۷

تاریخ پذیرش: ۱۴۰۲/۱۲/۱۴

تاریخ انتشار: ۱۴۰۳/۰۲/۱۸

نویسنده مسئول:

هادی صمدیان

مرکز تحقیقات پزشکی

مولکولی، دانشگاه علوم

پزشکی همدان، همدان، ایران

مقدمه: توسعه زخمپوش‌های زیست فعال با کارایی ترمیمی بالا یکی از مهم‌ترین حیطه‌های فعالیتی بین رشته‌ای است.

ساختارهای نانوفیبری ساخته شده با روش الکترورسی به علت نسبت سطح به حجم بالا، سازگاری زیستی بالا، تحمل خل قابل کنترل، قابلیت برگزاری طیف وسیعی از مواد درمانی، خواص مکانیکی قابل تنظیم و مشابهت به ماتریکس خارج سلولی یکی از گزینه‌های اصلی برای ساخت پوشش‌های زخم هستند؛ بنابراین، هدف از انجام این مطالعه ساخت و مشخصه‌یابی یک زخمپوش نانوفیبری بر پایه پلی‌وینیل الکل (PVA) حاوی نانورس (کافولین) کوژوگه (متصل) شده با جنتامایسین است.

مواد و روش‌ها: ابتدا بر پایه روش‌های شیمی‌سازی کامپیوتری و با استفاده از نرم‌افزار گوسین، برهم کنش میان ساختار نانورس‌ها (کافولین) و جنتامایسین ارزیابی شد و سپس مرحل آزمایشگاهی انجام گردید: نانورس‌های خالص سازی شده با جنتامایسین کوژوگه (متصل) شد و خواص نانوذره/داروی حاصل تجزیه و تحلیل گردید. غلظت‌های مختلف نانوکمپلکس سنتز شده (۵، ۱۰ و ۱۵ درصد وزنی/وزنی) با استفاده از روش الکترورسی در ساختار نانوفیبری PVA (۱۰ درصد وزنی/حجمی در آب) ادامه شد و پوشش زخم نانوفیبری مشخصه‌یابی گردید. در پایان، خواص زیستی پوشش زخم نانوفیبری بررسی شد.

یافته‌های پژوهش: مطالعات شیمی‌سازی نشان داد، در هر دو طرف صفحات نانورس‌ها، گروه‌های اکسیژن با بار منفی وجود دارند که قادر هستند به خوبی با نیتروژن‌های باردار مثبت موجود در جنتامایسین برهم کنش‌های باردار برقرار کنند و دارو را به خوبی در میان صفحات بارگیری نمایند. نتایج مشخصه‌یابی نشان داد، زخمپوش‌های نانوفیبری خصوصیات قابل قبولی از نظر ریخت‌شناسی، قطر، ترشوندگی، خواص مکانیکی، تورم‌پذیری، زیست‌سازگاری و سد نفوذ باکتری دارند. این ویژگی‌ها باعث می‌شود الیاف‌ها محیط مناسبی را برای بهبود زخم فراهم کنند؛ همچنین اضافه شدن جنتامایسین ویژگی‌های زیستی بر جسته‌ای در زخم‌پوش‌ها ایجاد کرد.

بحث و نتیجه‌گیری: یافته‌های این پژوهش می‌توانند گامی اساسی برای استفاده از ساختار نانوفیبری‌های PVA حاوی نانورس کوژوگه (متصل) شده با جنتامایسین در زمینه‌های مختلف مهندسی زیست‌مواد دارویی از جمله تولید زخم‌پوش باشد.

واژه‌های کلیدی: زخم‌پوش نانوفیبری، جنتامایسین، پلی‌وینیل الکل، کافولین، نانورس، گوسین

استناد: صمدیان هادی، محمدپور مهناز، زارع سهیلا، ایزدی ژیلا، مرادی هاشم، درخشنخواه حسین. ساخت و مشخصه‌یابی پوشش زخم

نانوفیبری حاوی نانورس‌های کوژوگه‌شده با جنتامایسین. مجله دانشگاه علوم پزشکی ایلام، اردیبهشت ۳ (۳۲): ۹۸-۸۳.



مقدمه

زخم‌ها بسته به حاد یا مزمن بودن، بر پایه طول زمان بهبودی طبقبندی می‌شوند. زخمی که بهطور طبیعی بهبود می‌یابد، زخم حاد است، درحالی که زخمی که در یک مرحله بهبود متوقف می‌شود، بهعنوان زخم مزمن شناخته می‌گردد (۱، ۲). استفاده از زخمپوش مناسب یکی از عوامل مؤثر در بهبود زخم است. مواد پانسمان زخم باید نرم، زیست‌سازگار، غیرسمی و غیر حساسیتزا و دارای قابلیت ضدالتهابی باشد (۳، ۴). نانوالياف‌های الکترورسی به علت داشتن سطح ویژه بزرگ و تخلخل بالا با منافذ کوچک، کارایی بالای در فرایند ترمیم زخم ارائه می‌دهند. از افزودن عوامل درمانی و دارویی به نانوالياف‌ها برای افزایش عملکرد پاسمندانهای الکترورسی شده بهمنظور هدف قرار دادن مؤثر انواع زخم استفاده می‌شود. در همین راستا، تحقیقات فراوانی بهمنظور توسعه نانوالياف الکترورسی برای کمک به بهبود سریع تر زخم‌ها و جلوگیری از عفونت‌های باکتریایی انجام شده است (۴-۲). از محسن این روش امکان افزودن ترکیبات مختلف آلی و معدنی از جمله شیشه‌های زیستی به محلول پلیمری و تولید داریستی ترکیبی است (۵). کاثولین یا خاک رس چینی عمده‌تاً از کاثولینیت معدنی و سیلیکات آلومینیوم تشکیل شده است (۶). یافته‌های پیشین حاکی از آن است که کاثولین می‌تواند از طریق بارهای منفی روی سطح، به مقدار فراوان بر لخته شدن خون اثر بگذارد (۷)؛ همچنین بررسی رهایش دارویی خودسرطان بارگیری شده در کاثولین نشان داد که در pH اسیدی، به علت کاهش برهم‌کنش دارو و بار سطح کاثولین، سرعت آزادسازی دارو به شکل مؤثری افزایش می‌یابد (۸، ۹). پلیمر پلی‌وینیل کل (PVA) یک پلیمر پلی‌هیدروکسی است که به علت هیدروفیلیستی بالا، قابلیت پردازش آسان، زیست‌سازگاری مناسب، امکان شکل‌دهی فیلم خوب و مقاومت شیمیایی به طور گسترده موردتوجه قرار گرفته است. از PVA به‌سبب نرخ زیست‌سازگاری/زیست‌تخریب‌پذیری مناسب می‌توان در زمینه‌های مختلف پزشکی بهره گرفت (۹). در میان پلیمرهای زیستی مختلفی که وجود دارد، PVA به علت امکان‌پذیری

اتصال به داروها با استفاده از تعداد فراوان گروه‌های هیدروکسیل بسیار موردتوجه قرار دارد (۱۰، ۱۱). جنتامايسین یک آمینوگلیکوزید جداشده از Micromonosporapurplea شناخته شده بر ضد میکروب‌های گرم منفی است (۱۲). در این مطالعه، هدف ساخت و مشخصه‌یابی یک زخمپوش نانوفیری بر پایه پلیمر PVA حاوی کاثولین-جنتامايسین است. علاوه بر کوئزوگه (متصل) کردن جنتامايسین با کاثولین و مشخصه‌یابی دقیق این کمپلکس با استفاده از روش‌های محاسباتی/شیوه‌سازی کامپیوتری و آزمایشگاهی، ادغام این کمپلکس با ساختار نانوفیر و استفاده از آن به عنوان یک زخمپوش است.

مواد و روش‌ها

بررسی برهم‌کنش میان کاثولین و جنتامايسین: در ابتدا، ساختار مولکولی ۳ بعدی مربوط به کاثولینات از پایگاه داده‌های کریستالی مولکول‌های معدنی (-https://virtual-museum.soils.wisc.edu/display/kaolinite-crystal/) به دست آمد و پس از جدا کردن یک تک‌لایه، کمینه‌سازی ارزی و بهینه‌سازی ساختاری آن با استفاده از نرم‌افزار آووگادرو (Avogadro) انجام شد. ساختار مولکولی مربوط به جنتامايسین نیز از پایگاه داده‌ای اطلاعات مولکولی پابکم (https://pubchem.ncbi.nlm.nih.gov/) به دست آمد و در آووگادرو، کمینه‌سازی و بهینه‌سازی ساختاری آن انجام گردید. داکینگ مولکولی با استفاده نرم‌افزار اتوذاک ۴-اتوگرید ۴ و به تعداد ۲۰۰ ران تحت الگوریتم ژنتیک لامارکی صورت گرفت. بارهای الکتریکی گارستیگر، هیدروژن‌های قطبی، اتم تایپ‌های میدان نیروی اتوذاک و نیز تعريف و تنظیم چرخش‌های پیوندی فعل با استفاده از نرم‌افزار اتوذاک‌تلز بر مولکول‌ها اعمال شدند. با توجه به اینکه اطلاعات مربوط به اتم‌های سیلیسیوم و آلومینیم در میدان نیروی اتوذاک موجود نیستند، یک سلول واحد از کریستال کاثولینات جدا گردید و با استفاده از نرم‌افزار گوسین (Gaussian vol.09W D.01)، بارهای اتمی آن به روش NBO محاسبه شد. تابع پایه و روش استفاده شده در این قسمت

رویشی مدل 4160-02-HIT استفاده گردید. بدین منظور، پس از الکتروریسی محلول‌ها، قطعه‌هایی از نانوالیاف‌های متصل به فویل آلومینیمی برش داده شدند و پس از پوشش دهی با طلا، عکس برداری از سطح نمونه‌ها در بزرگنمایی‌های مختلف صورت گرفت. برای اندازه‌گیری قطر نانوفیبرها از نرم‌افزار Image J استفاده گردید.

پراکنده‌گی نوری دینامیکی (DLS) و اندازه‌گیری پتانسیل زتا (ZETA): تجزیه و تحلیل DLS یا تفرق نور پویا روشی برای تعیین اندازه ذرات و توزیع آنها در مایعات است. تجزیه و تحلیل DLS برای بررسی پایداری ابعادی نانوذرات و شدت کلخه شدن آنها روش کارآمدی است. به طور معمول، روش DLS برای اندازه‌گیری توزیع اندازه ذرات بین یک نانومتر تا ۴ میکرومتر استفاده می‌شود. DLS و پتانسیل زتا کونژوگه نانورس/جنتامايسين در محیط آبی اندازه‌گیری شد.

مشخصات شیمیابی به وسیله طیف‌سنجی FTIR: به منظور بررسی ارتعاشات کششی و خمسی، احتمال واکنش‌های شیمیابی از قبیل پیوندهای هیدروژنی و تأیید حضور جنتامايسين و کاثولین در فیر تهیه شده، طیف‌های FTIR پلی‌وینیل الکل، کاثولین، جنتامايسين، ترکیب کاثولین-جنتامايسين و فیر تهیه شده توسط دستگاه Irprestige-2، Shimadzo، cm⁻¹ 4000-400 (Japan) ثبت گردید. محدوده اسکن برابر ۱۰۰۰-۱۰۰ cm⁻¹ بود.

ویژگی‌های آب‌دوستی-آب‌گریزی: ویژگی‌های آب‌دوستی-آب‌گریزی (هیدروفیل-هیدروفوب) از طریق اندازه‌گیری زاویه تماس آب صورت گرفت. اندازه‌گیری زاویه تماس معمولاً با قطره آب (با حجم ۴ تا ۱۰ میکرولیتر) توسط دستگاهی مجهز به یک دوربین CCD با قابلیت عکس برداری از قطره و دارای نرم‌افزار سنجش زاویه تماس قطره با سطح مدنظر انجام می‌شود.

میزان جذب آب: برای محاسبه ظرفیت جذب آب از معادله زیر استفاده گردید (۱۴) که ظرفیت پانسمان زخم را برای جذب ترشحات زخم نشان می‌دهد. W₀ وزن نمونه‌های

به ترتیب G۳۱۱-۶ و روش هارتی-فاک بومند.

ستتر کاثولین/جنتامايسين: ۴-۵ گرم کاثولین در ۵۰ میلی لیتر آب مقطر به مدت دو ساعت حل گردید تا ذرات بزرگ‌تر آن رسوب کند و سپس سوپرناتانت کدر آن به راحتی جدا شد. محلول رویی جدا شده در دمای ۴۰ درجه سانتی‌گراد در داخل پتري ديش خشک گردید و پودر حاصل به نسبت ۱ به ۱۰ با جنتامايسين (بر اساس مطالعات پايلوت صورت گرفته) در محیط آبی ترکیب شد. مخلوط پس از هم خوردن در دمای محیط، به مدت ۲۴ ساعت با دور rpm ۱2000 کونژوگه شده با کاثولین جدا شود. ساختار حاصل با خشک کن سرمایشی خشک شد.

ستتر پوشش زخم نانوفیبری: برای تهیه محلول ۱۰ درصد وزنی/حجمی از PVA، مقدار مناسب از پلیمر وزن گردید و به ۵ میلی لیتر آب مقطر اضافه شد. مخلوط حاصل روی استیرر تحت همزیزی قرار گرفت تا محلول یکدستی به دست آید. به منظور ستتر محلول پیش‌ساز الکتروریسی، غلظت‌های مناسب کمپلکس Kao/Gen به محلول پلیمری اضافه گردید، به صورتی که غلظت دارو در آنها ۵، ۱۰ و ۱۵ درصد W/W نسبت به PVA باشد. مخلوط حاصل به مدت ۲۴ ساعت روی استیرر در دمای ۴۰ درجه سانتی‌گراد هم خورد تا محلول شفاف و یکدستی به دست آید. محلول پلیمری به سرنگ ۵ میلی‌لیتر دارای سرسوزن ۱۸ گیج منقل و سرنگ در دستگاه جای گیری شد. مؤلفه‌های دستگاهی شامل ولتاژ اعمالی ۲۰ کیلوولت، فاصله نازل تا جمع کننده ۱۰ سانتی‌متر و نرخ تریق پلیمر ۰/۵ میلی لیتر بر دقیقه تنظیم گردید. نانوفیبرها روی فویل آلومینیومی جمع شد و پس از پایان الکتروریسی، از روی فویل آلومینیومی جمع آوری گردید. نانوفیبرها به مدت ۲۴ ساعت تحت بخار گلوتارالدئید کراس لینک شدند (۱۳).

مشخصه‌یابی نانوفیبرهای ستتر شده؛ بررسی ریخت‌شناسی نانوفیبرها: مورفولوژی سطح نانوفیبرهای توسط SEM تجزیه و تحلیل شد. برای بررسی مورفولوژی ساختاری نمونه‌ها و مطالعه ریزساختار آنها، از میکروسکوپ الکترونی

دماه اتاق است.

$$\text{water uptake}(\%) = \frac{W_1 - W_0}{W_0} \times 100\% \quad (1)$$

استفاده از کشت سلول‌های فیبروبلاست بر روی ساختارهای تهیه شده، میزان زنده‌مانی سلول‌ها در ۲۴ و ۷۲ ساعت بررسی شد. داربست‌ها قبل از کشت، به مدت ۲۰ دقیقه با اشعه فوق بنسن (UV) استریل گردید؛ سپس داربست‌ها در خانه‌های یک پلیت ۹۶ خانه‌ای قرار داده شد. از سلول‌ها پس از شمارش، تعداد 5×10^3 سلول در هر خانه روی نانوفیرهای درون پلیت کشت گردید. خانه‌های محتوی سلول بدون داربست به عنوان کنترل در نظر گرفته شد.

خون‌سازگاری: همولیز ناشی از نانوالیاف آماده شده به عنوان نشانه‌ای از خون‌سازگاری ارزیابی گردید، به این صورت که ۲ میلی‌لیتر خون تازه (انسانی) حاوی ضدانعقاد با ۲/۵ میلی‌لیتر PBS رقیق شد. نمونه‌های نانوفیر پانچ شده درون میکروتیوب قرار گرفت و با ۲۰۰ میکرولیتر خون رقیق شده انکوبه گردید؛ سپس نمونه‌ها سانتریفیوژ و جذب آن‌ها در ۵۴۵ نانومتر با استفاده از میکروپلیت ریدر (BioTek Synergy 2 Multi-Mode MicroplateReader) خوانده شد. درصد همولیز با استفاده از معادله شماره ۲ محاسبه گردید.

$$\text{Hemolysis (\%)} = \frac{D_t - D_{nc}}{D_{pc} - D_{nc}} \times 100\% \quad (2)$$

ساعت در ۳۷ درجه سانتی‌گراد انکوبه شدند و قطر هاله ایجاد شده ارزیابی گردید.

پروپوزال این مطالعه، توسط کمیته احلاق دانشگاه علوم پزشکی کرمانشاه مورد تایید قرار گرفته است (کد اخلاق IR.KUMS.REC.1399.377).

یافته‌های پژوهش

مشخصات نانورس: همان‌طور که در شکل شماره ۱ نشان داده شده است، مقادیر بار سطحی و اندازه کائولین پس از برهم-کنش با جنتامایسین کمتر شده است که نشان می‌دهد، جنتامایسین در لابهای کائولین قرار گرفته و تا حدی باعث پراکندگی کائولین شده و از قرار گرفتن آن‌ها در کنار هم جلوگیری کرده و درنتیجه، باعث کاهش اندازه ذرات شده است (۱۶، ۱۷). همان‌طور که در شکل شماره C1 نشان

خشک و W1 وزن نمونه‌ها پس از غوطه‌وری در PBS در

خواص مکانیکی: خواص مکانیکی نانوالیاف بر اساس روش مقاومت کششی مطابق با روش‌های استاندارد به وسیله دستگاه تست کشش تک محوری (Santam, Karaj, Iran) با سرعت کشش یک میلی‌متر در دقیقه انجام شد. از هر نمونه نانوالیاف، ۳ قطعه در ابعاد $3 * 1 * 1$ سانتی‌متر برش داده شد؛ سپس توسط دستگاه تحت کشش قرار گرفت و نتایج از طریق نرم‌افزار استخراج گردید.

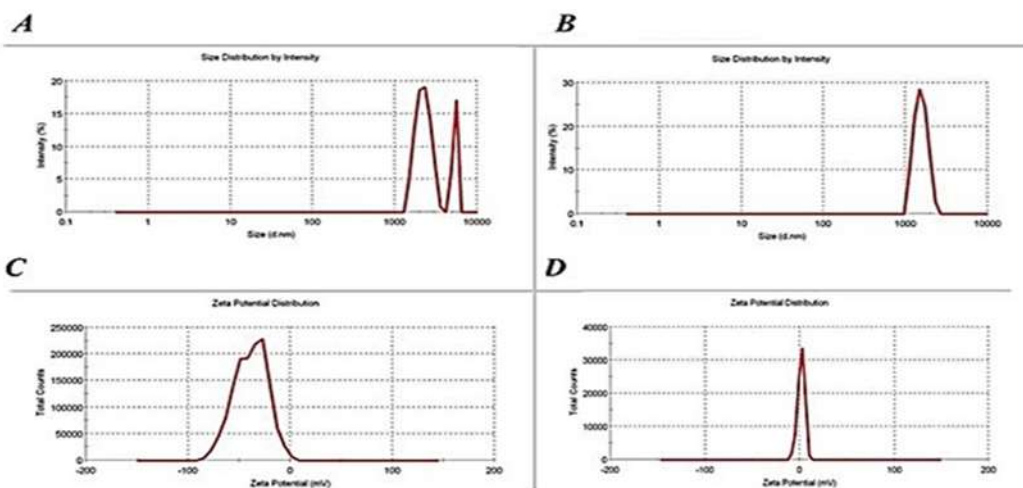
رهایش دارو: نمونه‌ها (PVA/Kao/Gen 5, 10, 10, 15%) به وزن تقریبی ۲۵ میلی‌گرم به صورت جداگانه در ظرف‌های حاوی بافر PBS قرار داده شدند. نمونه‌برداری در زمان‌های مختلف (۱۵، ۳۰ دقیقه و ۱، ۲، ۴، ۸، ۱۲، ۲۴، ۳۶ و ۴۸ ساعت) انجام گرفت. میزان جذب نمونه‌ها توسط دستگاه اسپکتروفوتومتر UV/Vis در طول موج ۲۷۰ نانومتر سنجیده شد.

بررسی‌های زیستی: زیست‌سازگاری: میزان رشد سلول‌های فیبروبلاست (موجود در بانک سلولی گروه) با استفاده از تست MTT ارزیابی گردید، بدین صورت که با در این معادله، جذب نمونه و جذب کنترل منفی (خون بررسی شده با PBS) و جذب کنترل مثبت (خون لیزیده با آب) است (۱۵).

خاصیت ضدمیکروبی: خاصیت ضدمیکروبی نانوفیرها با استفاده از روش انتشار در حفره آگار انجام گرفت. در این روش، از کشت ۲۸ ساعتی سویه استاندارد باکتری سودوموناس آئروژینوزا (ATCC 27852) و اشرشیاکلی (ATCC 25922) در سرم فیزیولوژی استریل، سوسپانسیونی معادل با کدورت ۰/۵ مک‌فارلند تهیه شد. ۱۰۰ میکرولیتر از سوسپانسیون باکتریایی روی محیط کشت مولر هیستون آگار چکانیده و بر روی محیط گسترش داده شد. چاهک‌های به قطر ۱ میلی‌متر در محیط آگار ایجاد گردید. نانوفیرهای تشکیل شده در چاهک‌ها قرار گرفتند؛ سپس به مدت ۲۴

کردن آن و قرار گرفتن این ماده روی کاثولین، بار سطحی آنها پوشانده و بار کاثولین مثبت می شود.

داده شده است، بار کائولین پیش و پس از جذب جنتامایسین تغییر کرده است، به طوری که پیش از اضافه کردن جنتامایسین، بار سطحی کائولین منفی است؛ اما پس از اضافه



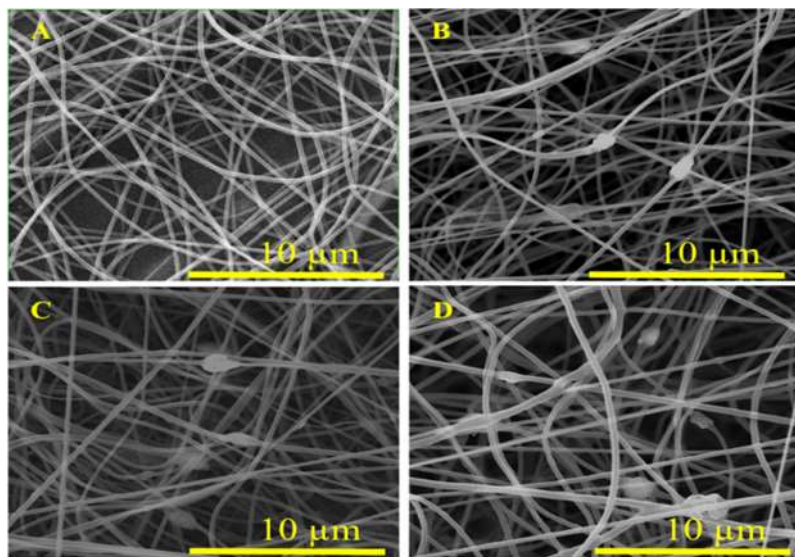
شکل شماره ۱. مشخصات نانورس پیش و پس از کوتزو-گاسیون با دارو. اندازه شاعع هیدرودینامیکی (A-1) پیش و (B-1) پس از کوتزو-گاسیون با جنتاماپیسین؛ اندازه بتانسیل زتا (C-1) پیش و (D-1) پس از کوتزو-گاسیون با جنتاماپیسین

علت افزودن کاثولین-جنتامایسین نسبت داد (۱۸، ۲). بر اساس
نتایج میکروسکوپ الکترونی ترکیب PVA تنها یانگ
سطحی صاف و یکنواخت هستند و ساختارهای پیوسته و
یکنواخت در فیر این ترکیب مشاهده می‌شود که بدون دانه
هستند و قطر یکنواختی دارند. این مسئله تأیید کننده این مطلب
است که غلظت‌های انتخاب شده گرانزوی کافی دارند و
زنگیرهای پلیمر در گیری خوبی با یکدیگر داشته‌اند که به
تشکیل نشدن دانه در فیرها منجر شده است (۲۰، ۱۹)..

مشخصات ساختاری نانوفیرهای سنتر شده: برای بررسی ریزساختار و اندازه‌گیری قطر نانوالياف، تصاویر SEM از نمونه‌ها تهیه شد. در شکل شماره ۲، تصاویر مربوط به میکروسکوپ الکترونی فیرهای تشکیل شده نشان داده شده است. نتایج اندازه‌گیری قطر نانوالياف‌ها با نرم افزار Image در جدول شماره ۱ آمده است که نشان می‌دهد، میانگین قطر نانوالياف به ترتیب با افزایش مقدار کاٹولین/جنتامایسین از ۵ درصد به ۱۵ درصد وزنی، روند افزایشی نشان می‌دهد. این افزایش قطر را می‌توان به افزایش ویسکوزیته محلول پلیمر به

حدوٰء شماره ۱. مانگن: قطر نانه الاف ها (نانه مت)

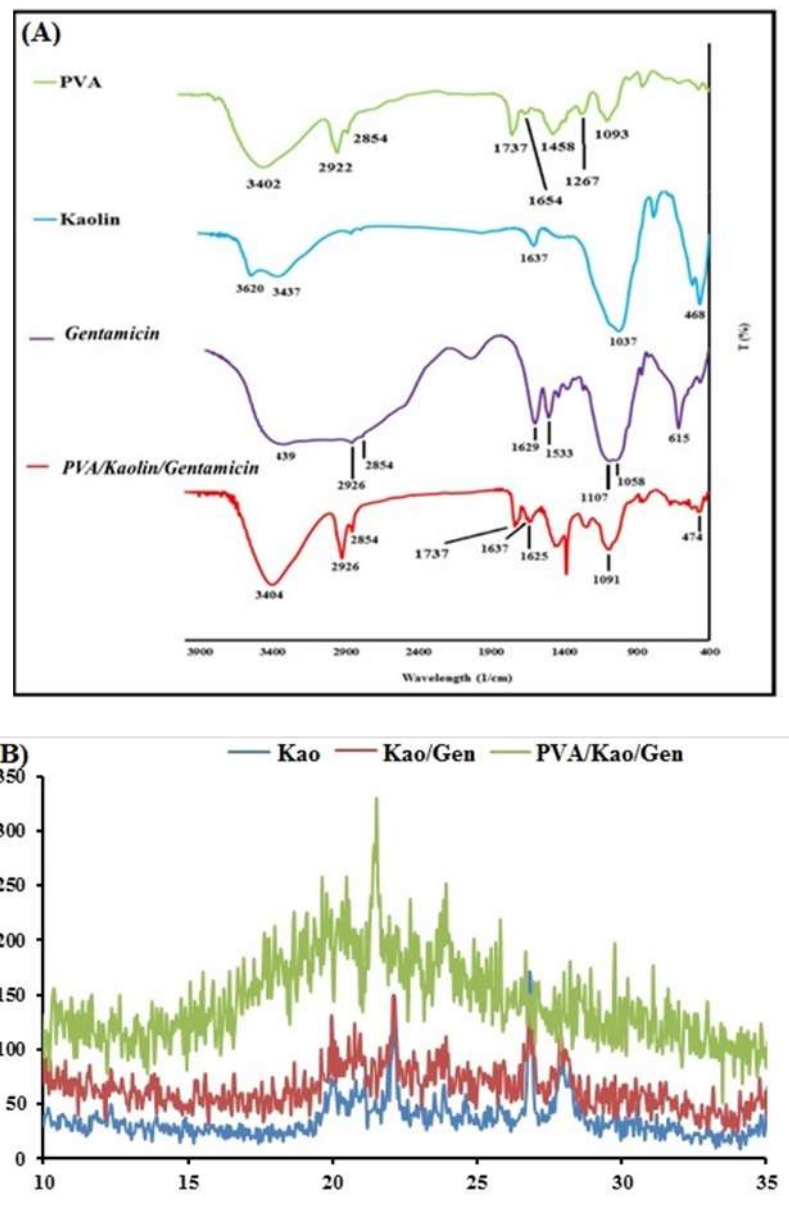
PVA	PVA/Kao/Gen 5%	PVA/Kao/Gen 10%	PVA/Kao/Gen 15%
۲۱۹/۳۰±۹۷/۴	۱۶۷/۲۹±۹۷/۶۳	۱۸۸/۹±۵۷/۶۴	۲۰۴/۴۴±۳۷/۷۳



شکل شماره ۲. تصاویر SEM فیبرهای تهیه شده. A. PVA و C. PVA/Kaodrug 10%؛ B. PVA/Kao-drug 5%؛ D. PVA/Kaodrug 15%

ارتعاشات خمی گروه Si–O–Si در کائولین است. حضور پیک‌هایی در 475 cm^{-1} ، 3404 cm^{-1} ، 1629 cm^{-1} ، 1637 cm^{-1} ، 1540 cm^{-1} و 874 cm^{-1} (مربوط به گروه‌های Si–O–Si، C–O–Si) از عوامل تأیید کننده است. همچنان که در طیف نانوفیبر یکی از عوامل تأیید کننده است، کائولین و جنتامایسین واکنش شیمیایی باهم ندارند و این ترکیبات به صورت فیزیکی در نانوفیبر تهیه شده بارگذاری شده‌اند. ساختار کریستالی کائولین، کائولین کوئزروگه شده با دارو و ساختار نانوفیبر توسط تکنیک XRD ارزیابی گردید و نتایج در شکل شماره ۳ ارائه شده است. همان‌طور که مشخص است، کائولین ساختار کریستالی دارد و کونتروگاسیون آن با دارو باعث جابجایی محل پیک‌ها و تغییر شدت آن‌ها شده است.

داده‌های طیف FTIR مربوط به ترکیبات PVA کائولین و جنتامایسین خالص در مقایسه با نانوفیبر سنتز شده در شکل شماره ۳ نشان داده شده است. در طیف مربوط به فیبر همه پیک‌های ارتعاشی کششی و خمی مربوط به ترکیبات PVA، کائولین و جنتامایسین دیده می‌شود. پیک پهن در ناحیه $3600\text{--}2500\text{ cm}^{-1}$ مربوط به ارتعاش کششی گروه OH در PVA، کائولین و جنتامایسین است. پیک‌های شاخص ناحیه 3404 cm^{-1} مربوط به ارتعاش کششی گروه N–H و پیک‌های شاخص ناحیه 1625 cm^{-1} و 1540 cm^{-1} مربوط به ارتعاشات کششی و خمی گروه‌های آمید نوع اول، دوم و سوم جنتامایسین است. پیک‌های 1091 cm^{-1} و 1029 cm^{-1} مربوط به ارتعاش کششی گروه C–O–C در PVA، جنتامایسین و



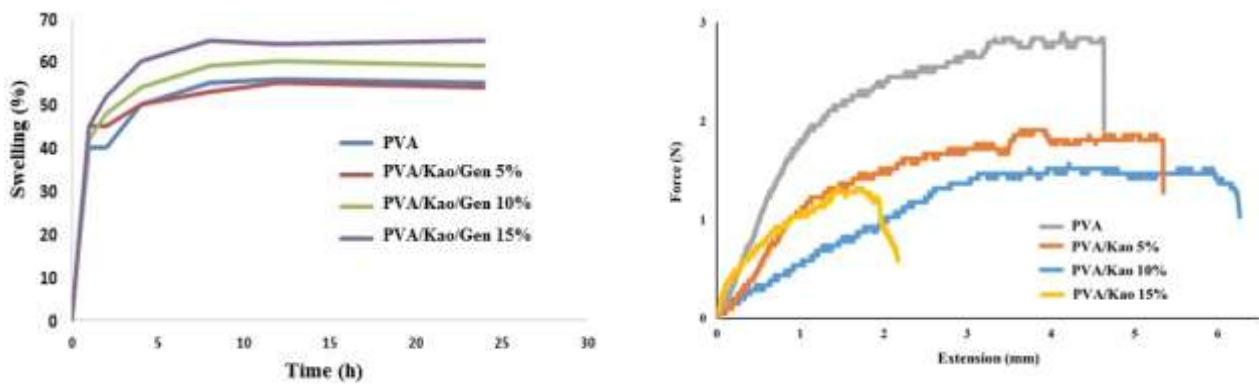
شکل شماره ۳. A. طیف FT-IR ترکیبات PVA، کائولین، جنتامایسین و PVA/Kao/Gen؛ B. نتایج XRD کائولین خالص، کائولین کوئنزوگه شده با دارو و ساختار نانوفیری نهایی

افزایش غلظت کائولین/جنتامایسین باشد. با توجه به نتایج به دست آمده می‌توان نتیجه گرفت که پوشش‌های زخم آماده شده قادر به جذب ترشحات زخم هستند. به نظر می‌رسد، ساختار کائولین اجازه جذب آب بیشتر را فراهم ساخته است. خواص مکانیکی: خصوصیات مکانیکی نانوالیاف تهیه شده بر اساس روش مقاومت کششی ارزیابی گردید و نتایج در شکل شماره ۴. ب ارائه شده است. نتایج نشان داد که مقدار مقاومت نهایی در برابر کشش برای نانوالیاف PVA حدوداً ۳ مگاپاسکال است و با افروختن کائولین/جنتامایسین،

میزان جذب آب: جذب مواد ترشحی زخم یکی از مهم‌ترین موارد برای پوشش زخم است. میزان جذب آب نانوالیاف تهیه شده با روش بررسی تورم پذیری اندازه‌گیری و نتایج در شکل شماره ۴. الف ارائه شده است. میزان جذب آب نانوالیاف PVA بدون کائولین $42/28 \pm 19/87$ درصد و با افزودن کائولین با غلظت‌های ۵ درصد، ۱۰ درصد و ۱۵ درصد به ترتیب به $43/14 \pm 19/45$ ، $43/21 \pm 34/46 \pm 23/36$ و $50/14 \pm 23/36$ درصد افزایش یافت. مقادیر مشاهده شده افزایش جذب آب می‌تواند مربوط به افزایش میزان آبدوستی نانوالیاف با

می یابد.

به طور چشمگیری کاهش می یابد؛ همچنین مشاهده شد که کشش نانوالياف با افزودن کاولین/جنتامایسین افزایش



الف

ب

شكل شماره ۴. الف. میزان درصد تورم پذیری ساختار نانوفیبری؛ ب. نتایج آزمایش استحکام کششی نانوفیبرهای سنتز شده.

درصد، ۱۰ درصد و ۱۵ درصد کاولین/جنتامایسین باعث کاهش این زاویه می گردد. زاویه تماس آب می تواند هر گونه تغییری در آب دوستی غشای رانشان دهد (۲۱، ۲۱) و هرچه مقدار آن کمتر باشد، نشان دهنده آب دوست تر بودن غشا است (۲۲). (۲).

تجزیه و تحلیل ترشوندگی: در مطالعه حاضر، ترشوندگی نانوالياف تهیه شده بر اساس روش اندازه گیری زاویه تماس آب ارزیابی گردید و نتایج در جدول شماره ۲ ارائه شده است. نتایج نشان داد که زاویه تماس برای نانوالياف PVA برابر با 65 ± 4 درجه است که اضافه شدن غلظت های ۵

جدول شماره ۲. نتایج ترشوندگی نانوالياف (زاویه تماس آب)

نمونه	زاویه تماس آب (°)
PVA	4 ± 65
PVA/Kao/Gen 5%	5 ± 55
PVA/Kao/Gen 10%	3 ± 40
PVA/Kao/Gen 15%	5 ± 35

درصد است. نمودار فیبر PVA/Kao/Gen ۵٪ از ۲۴ ساعت، به حالت مسطح درمی آید. محور رهایش دارو نانوفیبر PVA/Kao/Gen ۱۰٪ در هجدهمین ساعت، به حالت اشباع می رسد و این مرحله برای نانوفیبر PVA/Kao/Gen ۱۵٪ در زمانی کمتر از ۱۸ ساعت است.

خون سازگاری: همولیز ناشی از نانوالياف به عنوان نشانه ای از سازگاری خون ارزیابی گردید. همان طور که در شکل شماره ۵. ب نشان داده شده است، نانوالياف باعث

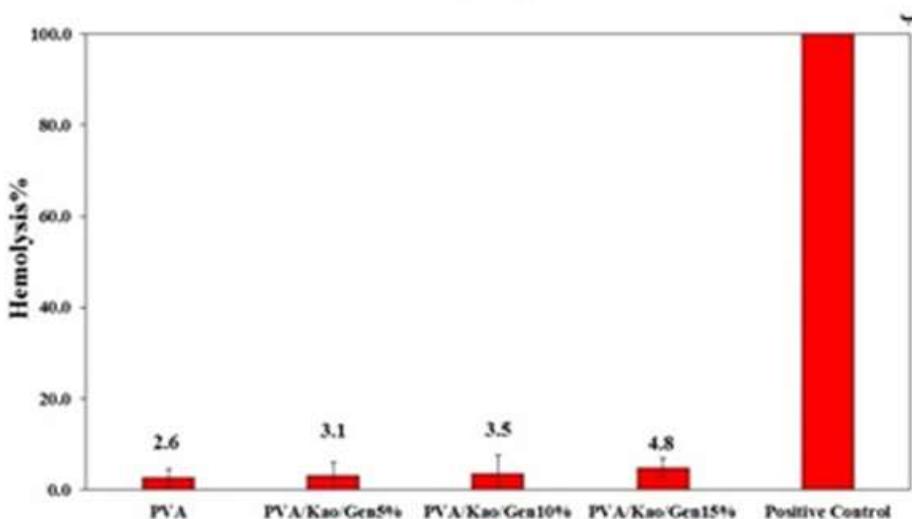
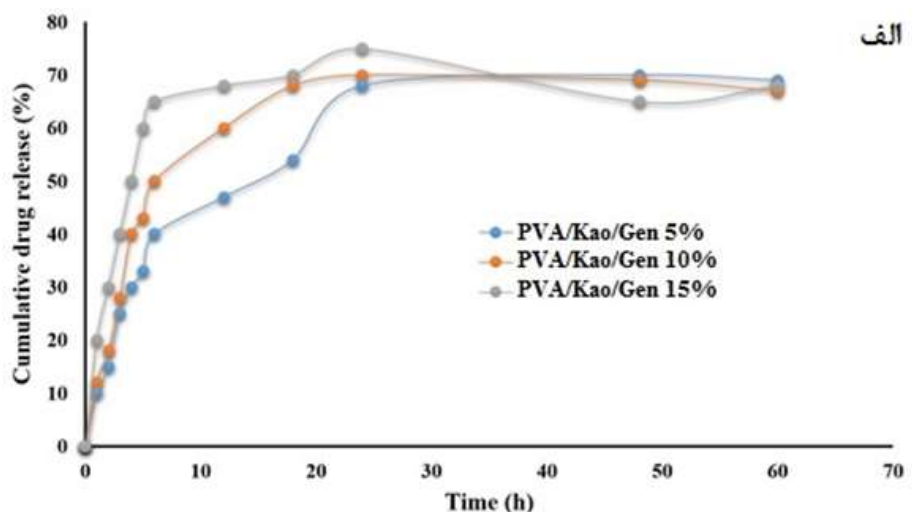
نتایج رهایش دارو: همان طور که در شکل شماره ۵. الف مشاهده می شود، با افزایش میزان کاولین/جنتامایسین، میزان رهایش دارو نیز افزایش می یابد. طی ۱۰ ساعت اول، در هر سه غلظت کاولین/جنتامایسین رهایش سریع و تقریباً انفعاری است، به طوری که ظرف مدت ۱۲ ساعت، فیبر حاوی Kaol/Gen ۵٪ حدود ۴۸ درصد از دارو لودشده را آزاد می کند. درصد رهایش طی همین مدت برای فیبرهای حاوی Kaol/Gen 10٪، ۱۵٪ به ترتیب معادل ۶۰ درصد و

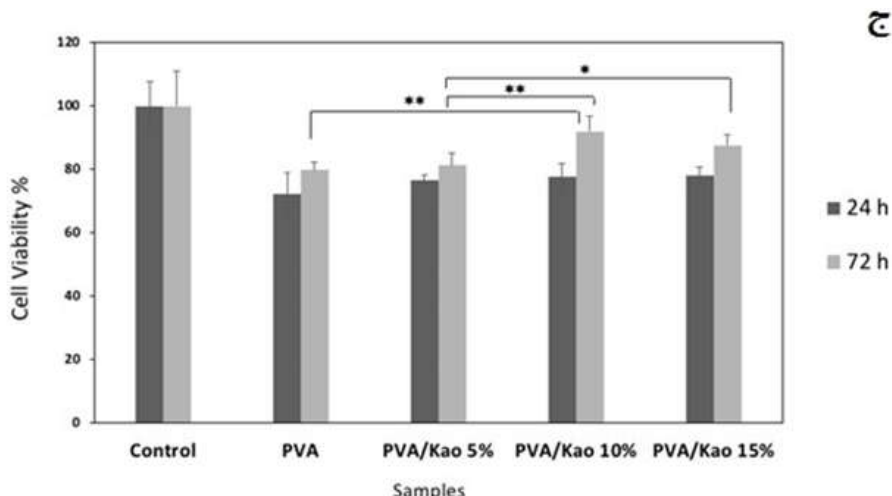
سازگاری سلول‌ها با نانوالیاف در همه گروه‌ها افزایش داشت و افزایش غلظت کائولین/جنتامایسین سبب افزایش درصد زنده‌مانی سلول‌ها و سازگاری پیشتر نانوالیاف گردید. همان‌طور که در شکل شماره ۵، ج. نشان داده شده است، در گروه کائولین/جنتامایسین ۱۰ درصد، در مقایسه با دو گروه کائولین/جنتامایسین ۵ و ۱۵ درصد و گروه نانوالیاف بدون کائولین/دارو، با معنی‌داری بالای ($P<0.01$)، درصد زنده‌مانی سلولی بالاتری دیده می‌شود؛ همچنین در گروه کائولین ۱۵ درصد نیز میزان زنده‌مانی سلول‌ها تفاوت معنی‌داری ($P<0.05$) با گروه کائولین ۵ درصد و گروه پلیمر خالص ارائه می‌دهد.

همولیز چشمگیری نمی‌شوند و مقدار همولیز مشاهده شده کمتر از کنترل مثبت و کمتر از ۵ درصد است. علاوه بر این، مشاهده شد که افزایش غلظت کائولین/جنتامایسین به میزان اندکی همولیز را افزایش می‌دهد.

نتایج بررسی سازگاری سلولی: سازگاری سلولی نانوالیاف سنتزهای حاوی کائولین/جنتامایسین به روش MTT ارزیابی گردید. در بازه زمانی ۲۴ و ۷۲ ساعت پس از کشت سلول‌ها روی نانوالیاف، سلول‌ها سازگاری کمتری در مقایسه با گروه کنترل داشتند. کاهش زنده‌مانی سلول‌ها در ۲۴ ساعت اولیه، مدت زمانی است که سلول‌ها برای سازگاری با شرایط جدید نیاز دارند؛ اما پس از گذشت ۷۲ ساعت، میزان

الف

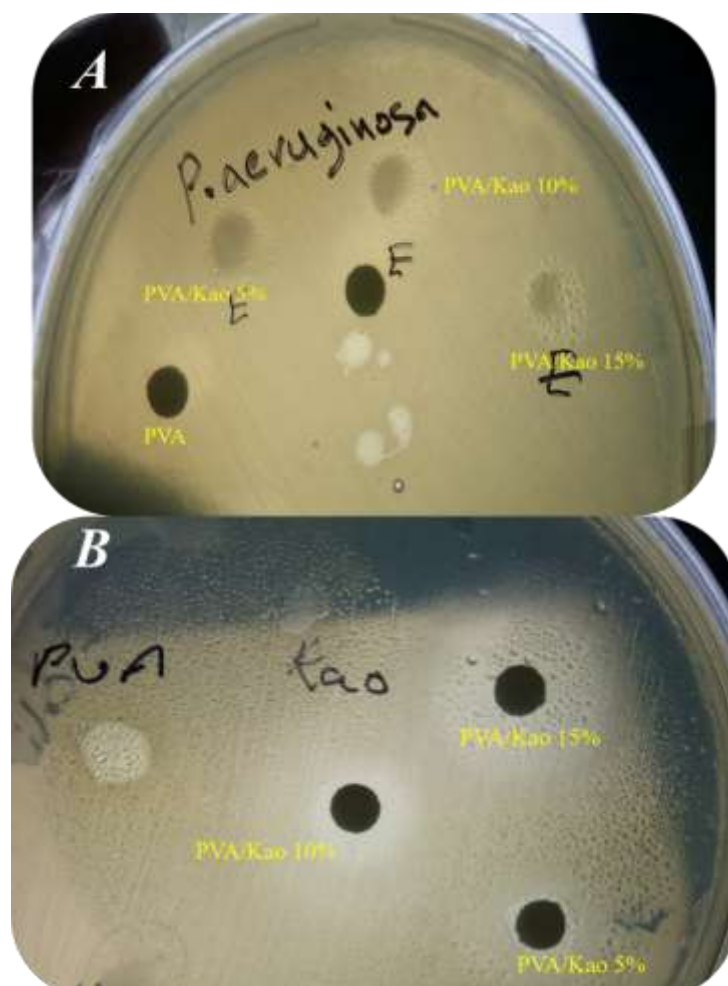




شکل شماره ۵. الف. نتایج رهایش دارو از ساختار نانوفیر؛ ب. درصد همولیز ناشی از نانویاف (کنترل مثبت، سلول‌های RBC لیزیشد با آب مقطر؛ ج. درصد زنده‌مانی سلول‌ها در مقابل با نانویاف (گروه کنترل سلول‌های بدون تیمار هستند؛ * $P<0.05$ و ** $P<0.01$)

سودوموناس آیروژنوزا است (شکل شماره ۶). از سویی، نانوفیر PVA/Kao/Gen 15% PVA هاله عدم رشد بیشتری نسبت به سایر نانوفیرها در برابر باکتری اشرشیاکلی نشان داد.

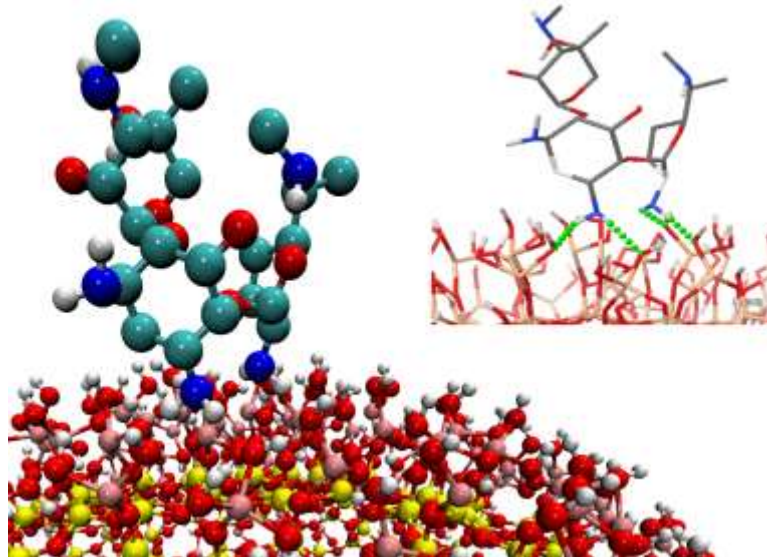
ارزیابی میکروبی: نتیجه آزمون ضدمیکروبی در مقابل دو باکتری گرم منفی سودوموناس آیروژنوزا و اشرشیاکلی نشان داد که به طور کلی، تأثیر نانوفیرهای PVA/Kao/Gen روی باکتری اشرشیاکلی مؤثرتر از باکتری



شکل شماره ۶. خاصیت آنتی‌بیوتیکی نانویاف بر (A) باکتری Pseudomonas aeruginosa و (B) باکتری E.Coli

کاثولینات، به خوبی قادر به برهم کنش پایدار با این مولکول است؛ همچنین وجود گروههای N در دو سوی جنتامایسین امکان نفوذ مؤثر دارو در میان صفحات و برقراری اتصال پایدار با هر دو طرف کاثولینات را ایجاد می‌کند.

دakinik: نتایج تجزیه و تحلیل محاسباتی داکینیگ مولکولی در شکل شماره ۷ آورده شده است. در موافقت با سایر نتایج بدست آمده از روش های آزمایشگاهی، مولکول جستامايسین به علت داشتن گروه های N با بار مثبت و حضور گروه های اکسیژن با بار منفی در دو طرف صفحات



شکل شماره ۷. الف. نتایج تجزیه و تحلیل داکینگ میان مولکول کاثولینات با داروی جنتامایسین (نقطه چین سبز مربوط به پیوندهای هیدروژنی است) ؛
ب. بارهای محاسبه شده برای اتمهای کاثولینات با استفاده از روش NBO در نرم افزار محاسبات کوانتومی گوین

توزیع می شود. بر اساس محاسبات، به علت جهت گیری مناسب گروههای N و O در دو ماده، امکان برهم کنش مؤثر جنتامايسین و کائولینات و نفوذ دارو در کائولین تائید می گردد. از شکل شماره ۱ و داده های تجزیه و تحلیل DLS

بحث و نتیجه‌گیری

هدف از این کار تعریف فرمول پلی وینیل الکل / کائولین / جنتامایسین بود که ترکیب کائولین / جنتامایسین به غلظت‌های ۵، ۱۰ و ۱۵ درصد وزنی / وزنی در پلیمر PVA

مفید باشد (۲۸). حضور نانوذرات Kao/Gen در نانوفیرها استحکام کششی نانوفیر را کاهش، اما کشش و کشسانی را افزایش می‌دهد. این رفتار را می‌توان به تغییرات قطر نمونه‌ها در حضور کائولین/جنتامايسین نسبت داد. هنگامی که قطر الیاف کوچک‌تر است، ساختارهای لایه‌ای و لیفی بهتر در امتداد محور الیاف قرار می‌گیرند و این امر بر استحکام کششی نمونه تأثیر مثبتی می‌گذارد (۲۹). این مسئله موجب افزایش انعطاف‌پذیری نانوالیاف‌ها و استفاده راحت‌تر از آن‌ها به عنوان پانسمان زخم می‌شود.

با توجه به نتایج رهایش دارو، سرعت آزادسازی دارو از نانوالیاف حاوی ۱۰ درصد وزنی کائولین/جنتامايسین از نانوفیرهای دیگر منطقی‌تر به نظر می‌رسد. نظر به اینکه نرخ رهایش بهینه دارو پانسمان با سرعت انجاری و سرعت بسیار کند مطلوب نیست، این غلظت از کائولین/جنتامايسین می‌تواند بهینه‌ترین حالت باشد (۳۰). بررسی‌های سازگاری سلول‌های خونی و فیروblastی زیست‌سازگاری و عدم سمیت همه نانوالیاف‌ها را برای سلول‌ها در شرایط برون‌تنی تأیید کرد. درنهایت، فعالیت ضدباکتریایی ساختارهای ایجادشده، در شرایطی که نانوفیر لودنشده با کائولین/جنتامايسین هیچ فعالیت ضدباکتریایی نشان نداد، یک ویژگی بسیار مهم و کاربردی در تهیه نانوالیاف‌های زخم‌پوش محسوب می‌شود.

با توجه به نتایج مطالعات شیوه‌سازی کامپیوتربازی، مشخصه‌یابی‌های آزمایشگاهی و ارزیابی‌های انجام شده در محیط برون‌تنی می‌توان نتیجه گرفت، نانوفیرهای PVA/Kao حاوی جنتامايسین پتانسیل بهره‌گیری در مهندسی بافت به عنوان زخم‌پوش را دارند. یافته‌های این پژوهش می‌تواند گامی اساسی برای استفاده از ترکیب نانوفیرهای PVA/Kao حاوی جنتامايسین در زمینه‌های مختلف مهندسی زیست دارویی از جمله تولید زخم‌پوش باشد.

سپاس‌گزاری

این مقاله مستخرج از پایان‌نامه دکتری عمومی داروسازی مصوب معاونت پژوهشی دانشگاه علوم پزشکی کرمانشاه است. بدین‌وسیله از معاونت محترم پژوهشی دانشگاه

و پتانسیل زتا، تغییر اندازه و بار ذرات کائولین پس از ترکیب با جنتامايسین و کاهش اندازه ذرات کائولین نفوذ جنتامايسین به درون لایه‌های آن را نشان می‌دهد (۱۶، ۲۷). افزایش مقدار پتانسیل زتا ذرات پس از پوشش دهی از طریق افزایش دافعه میان ذرات، منجر به کاهش نایابداری فیزیکی و همچنین از طریق ایجاد یک لایه در اطراف ذرات، مانع رهایش انفجری دارو می‌شود (۲۴، ۲۳). با اضافه کردن مقدار کائولین/جنتامايسین به پلیمر، قطر نانوالیاف افزایش یافت؛ همچنین از ترکیب پلیمر با نانوذرات کائولین/جنتامايسین، فیرهای گرددار در کنار الیاف‌های صاف تشکیل می‌گردد. در فرایند الکتروزیسی، اگر غلظت محلول فراوان باشد، مخلوطی از الیاف یکنواخت و الیاف دانه‌دار ایجاد می‌شود. درواقع، غلظت بالای نانورس/دارو در محلول موجب افزایش قطبیت و ثابت دیالکتریک در محلول و به‌تبع آن، تبخیر سریع‌تر حلal می‌گردد و زمان لازم برای کشش نانوالیاف فراهم نمی‌شود. ضمناً افزایش مقدار کائولین سبب افزایش گرانزوی محلول نانوالیاف می‌گردد که نیروی کشش کمتری بر الیاف اعمال می‌شود و موجب افزایش نیروی ویسکوالاستیک در فرایند الکتروزیسی می‌گردد؛ از این‌رو، قطر الیاف افزایش می‌یابد (۲۵). در طیف FTIR نانوالیاف PVA/Kao/Gen، پیک‌های مربوط به گروه‌های عاملی هر سه جزء بدون جایه‌جایی شیمیایی قابل توجهی دیده می‌شود که بیان کننده ترکیب فیزیکی آن‌ها در ساختار نانوالیاف است؛ اما کاهش شدت این پیک‌ها تأیید کننده تشکیل پیوند هیدروژنی NH دارو با OH کائولین و PVA است. الگوی XRD کائولین یک ساختار کریستالی را برای آن نشان می‌دهد. پس از ترکیب این نانوذره با دارو، کاهش شدت پیک‌های دلیل دیگری مبنی بر کانزروگه شدن آن‌ها است. حداکثر ترشوندگی موقعی اتفاق می‌افتد که زاویه $\theta = 0^\circ$ باشد و عدم ترشوندگی در زاویه $\theta \geq 90^\circ$ رخ می‌دهد (۲۷، ۱). با افزودن کائولین/جنتامايسین و افزایش غلظت آن‌ها، نانوالیاف‌ها آب‌دوست‌تر می‌شوند که منجر به افزایش جذب آب به داخل ساختار آن‌ها می‌گردد که به‌سبب توانایی جذب ترشحات و حفظ رطوبت بستر زخم می‌تواند برای کاربردهای ترمیم زخم

علوم پزشکی کرمانشاه بهسبب حمایت‌های مالی تقدیر و تشکر می‌گردد.

تعارض منافع

هیچ تضاد منافع احتمالی توسط نویسنده‌گان گزارش نشده است.

کد اخلاق

پروپوزال این مطالعه، توسط کمیته اخلاق دانشگاه علوم پزشکی کرمانشاه مورد تایید قرار گرفته است (کد اخلاق ۱۳۹۹.۳۷۷ (IR.KUMS.REC.1399.377)

مشارکت نویسنده‌گان

هادی صمدیان و حسین درخشان خواه: تعریف پژوهه، مدیریت پژوهه، نظارت، کسب بودجه و اعتبار سنجی مهناز محمدپور، سهیلا زارع و هاشم مرادی: مفهوم سازی، مدیریت داده‌ها، تحلیل رسمی، تحقیق و بررسی، روش شناسی، اعتبار سنجی، نوشتمن پیش نویس اصلی، نوشتمن مقاله و بررسی و ویرایش مقاله.

ژیلا ایزدی: مفهوم سازی، روش شناسی، تحلیل و بررسی داده‌ها، آزمایشات سلولی و باکتریایی سجاد مرادی: اجرای نرم افزارها و محاسبات کامپیوتری

همه نویسنده‌گان مقاله را بررسی، ویرایش و اصلاح کردند.

References

- Gholivand K, Mohammadpour M, Alavinash Ardebili SA, Eshaghi Malekshah R, Samadian H. Fabrication and examination of polyorganophosphazene/polycaprolactone-based scaffold with degradation, in vitro and in vivo behaviors suitable for tissue engineering applications. *Sci Rep* 2022;12:18407. doi: 10.1038/s41598-022-18632-8.
- Samadian H, Zamiri S, Ehterami A, Farzamfar S, Vaez A, Khastar H, et al. Electrospun cellulose acetate/gelatin nanofibrous wound dressing containing berberine for diabetic foot ulcer healing: In vitro and in vivo studies. *Sci Rep* 2020;10:8312. doi: 10.1038/s41598-020-65268-7.
- Azimi B, Maleki H, Zavagna L, De la Ossa JG, Linari S, Lazzeri A, et al. Bio-based electrospun fibers for wound healing. *J Funct Biomater* 2020;11:67. doi: 10.3390/jfb11030067.
- Chen K, Hu H, Zeng Y, Pan H, Wang S, Zhang Y, et al. Recent advances in electrospun nanofibers for wound dressing. *Eur Polym J* 2022;111490. doi:10.1016/j.eurpolymj.2022.111490
- Meng Z, Zheng W, Li L, Zheng Y. Fabrication, characterization and in vitro drug release behavior of electrospun PLGA/chitosan nanofibrous scaffold. *Mater Chem Phys* 2011;125:606-11. doi:10.1016/j.matchemphys.2010.10.010.
- Pohl W. Economic geology: principles and practice : metals, minerals, coal and hydrocarbons - introduction to formation and sustainable exploitation of mineral deposits. UK: Wiley-Blackwell. 2011;658. doi:10.1007/s00710-021-00754-y.
- Tamer TM, Sabet MM, Omer AM, Abbas E, Eid AI, Mohy-Eldin MS, et al. Hemostatic and antibacterial PVA/Kaolin composite sponges loaded with penicillin-streptomycin for wound dressing applications. *Sci Rep* 2021;11:342. doi:10.1038/s41598-021-82963-1.
- Katti KS, Jasuja H, Jaswandkar SV, Mohanty S, Katti DR. Nanoclays in medicine: a new frontier of an ancient medical practice. *Mate Adv* 2022;3:7484-500. doi: 10.1039/d2ma00528j.
- Valiani A, Samadi A, Hashemibeni B, Rafieinia M. Preparation of fibrin/polyvinyl alcohol nanofiber scaffold by electrospinning method for use in tissue engineering. *J Isfahan Med School* 2016;34:737-44.
- Yang E, Qin X, Wang S. Electrospun crosslinked polyvinyl alcohol membrane. Mater Lett 2008;62:3555-7. doi:10.1016/j.matlet.2008.03.049.
- Li X, Kanjwal MA, Lin L, Chronakis IS. Electrospun polyvinyl-alcohol nanofibers as oral fast-dissolving delivery system of caffeine and riboflavin. *Colloids Surf B Biointerfaces* 2013;103:182-8. doi: 10.1016/j.colsurfb.2012.10.016.
- Conway H, Dix KJ, McDonald JD, Miller RA, Wall HG, Wolff RK, et al. Comparison of inhalation toxicity studies of gentamicin in rats and dogs. *Inhal Toxicol* 2013;25:714-24. doi: 10.3109/08958378.2013.843043.
- Hulupi M, Haryadi H. Synthesis and characterization of electrospinning PVA nanofiber-crosslinked by glutaraldehyde. Mater 2019;13:199-204. doi:10.1016/j.matpr.2019.03.214.
- Çay A, Miraftab M, Kumbasar EPA. Characterization and swelling performance of physically stabilized electrospun poly (vinyl alcohol)/chitosan nanofibres. *Eur Polym J* 2014;61:253-62. doi:10.1016/j.eurpolymj.2014.10.017.
- Ehterami A, Salehi M, Farzamfar S, Vaez A, Samadian H, Sahrapeyma H, et al. In vitro and in vivo study of PCL/COLL wound dressing loaded with insulin-chitosan nanoparticles on cutaneous wound healing in rats model. *Int J Biol Macromol* 2018;117:601-9. doi: 10.1016/j.ijbiomac.2018.05.184.
- Derakhshankhah H, Hosseini A, Taghavi F, Jafari S, Lotfabadi A, Ejtehadi MR, et al. Molecular interaction of fibrinogen with zeolite nanoparticles. *Sci Rep* 2019;9:1558. doi:10.1038/s41598-018-37621-4.
- Mohammadpour M, Samadian H, Moradi N, Izadi Z, Eftekhari M, Hamidi M, et al. Fabrication and characterization of nanocomposite hydrogel based on alginate/nano-hydroxyapatite loaded with linum usitatissimum extract as a bone tissue engineering scaffold. *Mar Drugs* 2021;20:20. doi: 10.3390/md20010020.
- Salami MS, Bahrami G, Arkan E, Izadi Z, Miraghaei S, Samadian H. Co-electrospun nanofibrous mats loaded with bitter gourd (*Momordica charantia*) extract as the wound dressing materials: In vitro and in vivo study. *BMC complement Med Ther* 2021;21:1-12. doi: 10.1186/s12906-021-03284-4.
- Keshavarz S, Okoro OV, Hamidi M, Derakhshankhah H, Azizi M, Nabavi SM, et al. Synthesis, surface modifications, and biomedical applications of carbon nanofibers: Electrospun vs vapor-grown carbon nanofibers. *Coord Chem Rev* 2022;472:214770. doi: 10.1016/j.ccr.2022.214770.
- Arjamand S, Partovi Baghdadeh A, Hamidi A, Ranaei Siadat O. Electrospun nanofibers

- and their application in tissue repair and engineering. *J Shahid Sadoughi Univ Med Sci* 2020;27:2036-51. doi: 10.18502/ssu.v27i11.2491.
21. Zinadini S, Zinatizadeh AA, Rahimi M, Vatanpour V, Zangeneh H. Preparation of a novel antifouling mixed matrix PES membrane by embedding graphene oxide nanoplates. *J Membrane Sci* 2014;453:292-301.
 22. Homaeigohar SS, Elbahri M. Novel compaction resistant and ductile nanocomposite nanofibrous microfiltration membranes. *J colloid Interface Sci* 2012;372:6-15. doi: 10.1016/j.jcis.2012.01.012.
 23. Mohammadi M, Ghanbarzadeh B, Mokarram RR, Hoseini MY, Hamishehkar H. Study of Stability, Zeta-potential, and Steady Rheological Properties of Nanoliposomes Containing Vitamin D3. *Med J Tabriz Uni Med Sciences Health Services* 2014;36.
 24. Samavati SS, Hadizadeh M, Abedi M, Rabiei M, Derakhshankhah H. Encapsulation of eucalyptus essential oil in chitosan nanoparticles and its effect on MDA-MB-231cells. *Nanomed J* 2023;10: 234-44. doi: 10.22038/nmj.2023.72115.1775.
 25. Akbari Khorami H, Kianpoor-rad M, Vaezi M. Synthesis of SnO₂/ZnO Composite Nanofiberous via Electrospinning Method and Investigation of Effective Parameters on Morphology of the Prepared Nanofibers. *Appl Surf Sci* 2011;257: 7988- 92. doi:10.1016/j.apsusc.2011.04.052.
 26. Khavas M, Zaerhosseini M, Tavanaie MA, Mahmoudi A. A morphology study of PA 6 electrospun nanofibers using single and double side nozzles jet. *J Text Sci Technol* 2017;6:51-43.
 27. Akinh-Kocak S. The Influence of Fiber Swelling on Paper Wetting. The Graduate School, The University of Maine. 2001;144.
 28. Jang W, Yun J, Jeon K, Byun H. PVdF/graphene oxide hybrid membranes via electrospinning for water treatment applications. *Rsc Adv* 2015;5:46711-7. doi:10.1039/C5RA04439A.
 29. Doustgani A. Optimization of mechanical and structural properties of PVA nanofibers. *J Ind Text* 2016;46:901-13. doi:10.1177/1528083715601511.
 30. Ghajarieh A, Habibi S, Talebian A. A review on the medical application of electrospun nanofibers. *J Text Sci Technol* 2019;8:31-44. doi: 20.1001.1.21517162.1398.8.1.4.5.